



Sci. and Tech. note
یادداشت علمی و فنی

سنجش میزان موجودی رادیونوکلئیدهای طبیعی پتاسیوم-۴۰، رادیوم-۲۲۶، توریوم-۲۳۲ و رادیونوکلئید مصنوعی سزیوم-۱۳۷ در برنج محصول استان گیلان

سید ابوالفضل قاسمی^۱، مسعود وهابی مقدم^۲، طاهره حسینی^{*۳}، محمود صداقتیزاده^۱

۱- گروه فیزیک، دانشکده علوم، دانشگاه صنعتی خواجه نصیرالدین طوسی، صندوق پستی: تهران - ایران

۲- گروه فیزیک، دانشکده علوم، دانشگاه گیلان، صندوق پستی: رشت - ایران

۳- امور حفاظت در برایر اشعه، سازمان انرژی اتمی، صندوق پستی: ۱۴۱۵۵-۴۴۹۴، تهران - ایران

چکیده: در قالب طرح جامع بررسی رادیوآکتیویته محیطی در اکوسیستم شمال البرز، ۱۶ نمونه از انواع مختلف محصول برنج استان گیلان و ۴ نمونه برنج وارداتی، نمونه برداری شده، پس از آماده سازی و عملیات مورد نیاز با استفاده از طیف سنجی گاما با آشکارساز ژرمانیوم فراخالص (HPGe) مورد تجزیه قرار گرفتند. بررسی این نمونه ها از نظر میزان پرتوزایی نخستین بار در ایران انجام گرفت. در این نمونه ها بیشترین میزان پرتوزایی بدست آمده مریبوط به رادیونوکلئید پتاسیوم-۴۰ بوده است. مقادیر میانگین اندازه گیری شده رادیونوکلئیدهای طبیعی پتاسیوم-۴۰، رادیوم-۲۲۶، توریوم-۲۳۲ و رادیونوکلئید مصنوعی سزیوم-۱۳۷ به ترتیب برابر با: $(30.23 \pm 5.51) \text{Bq.Kg}^{-1}$, $(3.30 \pm 1.75) \text{Bq.Kg}^{-1}$, $(2.65 \pm 0.99) \text{Bq.Kg}^{-1}$ و $(3.78 \pm 1.65) \text{Bq.Kg}^{-1}$ به دست آمد که با مقادیر بدست آمده در کشورهای دیگر قابل مقایسه است.

واژه های کلیدی: رادیونوکلئیدهای طبیعی و مصنوعی، طیف سنجی گاما، برنج استان گیلان، آشکارساز ژرمانیوم فراخالص

Natural and Artificial Radionuclides (Potassium-40, Radium-226, Thorium-232 and Cesium-137) Assessment in the Planted Rice Samples in Guilan

A. Ghasemi¹, M. Vahabi Moghaddam², T. Hosseini^{*3}, M. Sedaghati zadeh¹

1- Physics Group, Sciences department, Khaje-Nasir Toosi University, P.O. Box: , Tehran - Iran

2- Physics Group, Sciences Department, Guilan University, P.O. Box: , Rasht - Iran

3- National Radiation Protection Department, AEOI, P.O. Box: 14155-4494, Tehran - Iran

Abstract: In this project, the activity concentration of some radionuclides in rice samples, collected from Guilan province have been analyzed and the results have been compared with rice samples imported from other countries. For this purpose, sixteen types of rice samples from different region of Guilan and four imported rice samples have been collected. The collected samples have been analyzed in order to determine the activity concentration of number of radionuclides such as ^{40}K , ^{226}Ra , ^{232}Th and ^{137}Cs . A gamma spectroscopy system with a high purity germanium detector (HPGe) has been used for the radioactivity measurement. The highest activity concentration in the rice samples belongs to potassium-40. The mean activity of ^{40}K , ^{226}Ra , ^{232}Th and ^{137}Cs were (30.23 ± 5.51) , $(3.30 \pm 1.75) \text{Bq.Kg}^{-1}$, $(3.78 \pm 1.65) \text{Bq.Kg}^{-1}$ and $(2.65 \pm 0.99) \text{Bq.Kg}^{-1}$, respectively. It can be concluded that all the activity concentrations are comparable with the values that have been, imported for other countries.

Keywords: Natural and Artificial Radionuclides, Gamma Spectroscopy, Rice-Guilan, Germanium Detector

*email: thossein@aeo.org.ir

تاریخ دریافت مقاله: ۸۵/۱/۱۶ تاریخ پذیرش مقاله: ۸۶/۳/۱۸

نگهداری آن به مدت سه هفته، با دستگاه طیف‌سنجد گاما سورد شمارش قرار گرفت، اما به علت کم بودن غلظت رادیونوکلئیدهای مورد نظر در نمونه، مقدار آنها کمتر از حد آشکارسازی سیستم شناخته شد. در نتیجه به منظور تغییل مواد پرتوزا و کاهش حجم، نمونه‌ها تا دمای 30°C سوزانده شدند. به منظور جلوگیری از تصعید سریوم موجود در نمونه کنترل این دما ضروری است. پس از سوزاندن کامل نمونه‌ها، نمونه‌های سوخته شده، یکنواخت و به درون ظروف مخصوص مارینلی ریخته شدند، سپس توزین نهایی انجام گرفت. به منظور برقراری تعادل پرتوزایی بین هسته مادر (رادیوم-۲۲۶) و دختر (رادیون-۲۲۲) نمونه‌ها به مدت ۳ هفته در محفظه کاملاً بسته نگهداری گردیدند و پس از پایان این مدت، با دستگاه طیف‌سنجد گاما به مدت ۲۵۰۰۰ ثانیه شمارش شدند.

دستگاه طیف‌سنجد گامای بکار رفته حاوی آشکارساز ژرمانیوم فرا خالص (HPGe) ساخت کارخانه CANBERRA است که بازده نسبی آن 40% و قدرت تفکیک انرژی آن ۲ کیلوالکترون ولت برای انرژی 1332 keV کیلوالکترون ولت رادیونوکلئید کبالت-۶۰. است و سیستم به پردازنده پالس، تجزیه‌کننده چند کاناله (MCA) و کامپیوتر متصل می‌باشد. آشکارساز در یک حفاظ سربی به ضخامت 10 mm قرار دارد و لایه‌ای مسی با ضخامت 0.5 mm سطح داخلی حفاظ آشکارساز را پوشانده است. کالیبراسیون انرژی و بازده طیف‌سنجد گاما با استفاده از چشمۀ مخلوط استاندارد (mixed source) ساخت کشور فرانسه، که حاوی رادیونوکلئیدهایی با حداقل انرژی 80 keV مربوط به کادمیوم-۱۰۹ (^{109}Cd) و حداقل انرژی 1839 keV مربوط به ایتریوم-۸۸ (^{88}Y) می‌باشد و طیف انرژی در بر گیرنده آن بین 90 تا 1800 keV است، انجام پذیرفت.

۳- یافته‌ها و بحث

با استفاده از دستگاه طیف‌سنجد گاما، میزان پرتوزایی رادیونوکلئیدهای پتاسیوم-۴۰، رادیوم-۲۲۶، توریوم-۲۳۲ و سریوم-۱۳۷ در نمونه‌های برنج اندازه‌گیری شد. لازم به ذکر است که با توجه به نوع هندسه مورد استفاده و مدت شمارش هر نمونه، این دستگاه برای هر رادیونوکلئید دارای یک مقدار حداقل پرتوزایی قابل شناسایی

۱- مقدمه

پرتوزایی موجود در طبیعت به دو بخش طبیعی و مصنوعی تقسیم می‌گردد. پرتوزایی طبیعی ناشی از پرتوهای کیهانی و عناصر پرتوزایی موجود در پوسته زمین می‌باشد که از زمان تشکیل این پوسته به وجود آمده است. از جمله رادیونوکلئیدهای طبیعی مهم که در پوسته زمین وجود دارند می‌توان به پتاسیوم-۴۰ (K^{40}) و رادیونوکلئیدهای موجود در سری فروپاشی اورانیوم-۲۳۸ و توریوم-۲۳۲ اشاره کرد. علاوه بر این عناصر پرتوزایی طبیعی، عناصر پرتوزایی مصنوعی نیز باعث افزایش پرتوزایی محیط زیست و در نتیجه مواد غذایی می‌شوند. در ضمن اجرای برنامه آزمایش جنگ‌افزارهای هسته‌ای که از سال ۱۹۴۵ آغاز و تا سال ۱۹۷۶ به طول انجامید مقادیر زیادی رادیونوکلئیدهای مصنوعی در محیط آزاد کرده که در ادامه آن در سال ۱۹۸۶ حادثه اتمی چرنوبیل باعث افزایش این پرتوزایی گردید [۱]. هسته‌های رادیوآکتیو ویژه‌ای نیز از راههای مختلف از جمله از راه هوا و مواد غذایی، وارد بدن انسان می‌شوند. در این کار پژوهشی مقادیر موجود رادیو نوکلئیدهای ^{226}Ra ، ^{40}K ، ^{232}Th و ^{137}Cs نخستین بار در کشور در برنج محصول استان گیلان مورد بررسی و اندازه‌گیری قرار گرفت.

۲- روش کار

شانزده نمونه از انواع مختلف محصول برنج نواحی مختلف گیلان مرکزی و چهار نمونه برنج وارداتی انتخاب و از هر نمونه مقدار ۴ کیلوگرم جمع‌آوری شد. این نمونه‌ها به ترتیب اولویت مصرف بیشتر مردم انتخاب شدند. نمونه‌های جمع‌آوری شده به منظور تعیین مقدار رادیونوکلئیدهای طبیعی ^{232}Th ، ^{226}Ra ، ^{40}K و ^{137}Cs مورد تجزیه و تحلیل قرار گرفتند. تعیین موجودی رادیونوکلئیدها با استفاده از روش طیف‌سنجد گاما به وسیله آشکارساز ژرمانیوم فرا خالص (HPGe) صورت گرفت. به منظور آماده‌سازی نمونه‌ها، ابتدا نمونه‌های برنج به وسیله آسیاب مخصوص به صورت بودر در آمدند. سپس نمونه‌ها به سینی‌های مخصوص منتقل شده و پس از توزین، درون کوره تا دمای 30°C به تدریج سوزانده شدند. لازم به ذکر است که قبل از سوزاندن نمونه‌ها، ابتدا یک نمونه پس از آسیاب کردن، به مارینلی منتقل گردید و پس از توزین و

۴-۳ پرتوزایی سزیوم-۱۳۷ (^{137}Cs)

گستره تغییرات پرتوزایی سزیوم-۱۳۷ ۱۳۷ قابل تشخیص از حداقل (4.43 ± 0.49) $10^{-2} \text{Bq.kg}^{-1}$ و حداکثر (1.20 ± 3.40) $10^{-2} \text{Bq.kg}^{-1}$ و با میانگین پرتوزایی $(2.65 \pm 0.99) \times 10^{-2} \text{Bq.kg}^{-1}$ بدست آمد. نمودار ۴ پرتوزایی سزیوم-۱۳۷ را در بیست نمونه برنج نشان می-دهد.

جدول ۱- اطلاعات طیف‌سنجه‌ی گاما رادیونوکلئیدها.

MDA (mBq.kg ⁻¹)	بازدید	مدت شمارش (ثانیه)	شدت پیک	انرژی (keV)	رادیونوکلئید
۲۲/۷	1.762×10^{-2}	۲۵۰۰۰	۰/۳۰۷	۵۸۳	²³² Th
۱۶/۲	1.684×10^{-2}	۲۵۰۰۰	۰/۴۴۶	۶۰۹	²²⁶ Ra
1.17×10^{-2}	1.569×10^{-2}	۲۵۰۰۰	۰/۸۵۰	۶۶۱/۷	¹³⁷ Cs
۱۸۲	9.217×10^{-3}	۲۵۰۰۰	۰/۱۰۷	۱۴۶۱	⁴⁰ K

جدول ۲- کد نمونه، نام نمونه و محل نمونه برداری منطقه پوششی گیلان.

محلي نمونه برداری	نام نمونه	کد نمونه
ناحیه لشت نشا	سرخ دم	Ri-1
آستانه اشرفیه	دمسیاه آستانه	Ri-2
شی جان یا خمام	رمضان	Ri-3
دافه چاه یا جعفر اباد	صدری	Ri-4
نخله	طارم عسگری	Ri-5
خامم	علی کاظمی	Ri-6
سرباز	خرز	Ri-7
شفت	دمسیاه دودی	Ri-8
لشت نشا	زرد دم	Ri-9
کلاچای	هاشمی درجه یک	Ri-10
آستانه اشرفیه	قریب	Ri-11
لشت نشا	ندا	Ri-12
-	ب-۱	Ri-13
-	تایلندي	Ri-14
سرابان	پاکستانی	Ri-15
لولمان و مازندران	فجر	Ri-16
کیسم و مازندران	سنگ طارم اعلا	Ri-17
-	طارم (رمضان)	Ri-18
	عرائی	Ri-19
	تایلندي	Ri-20

MDA (Minimum Detectable Activity) می‌باشد. در جدول ۱ حداقل میزان پرتوزایی قابل شناسایی رادیونوکلئیدهای موردنظر به وسیله سیستم طیف‌سنجه‌ی گاما و برخی مشخصات دیگر آنها، از جمله انرژی پرتو گاما می‌باشد استفاده جهت شناسایی رادیونوکلئیدها، شدت انرژی ساطع شده، بازده و مدت شمارش درج داده شده است [۲].

کد نمونه‌ها و محل جمع‌آوری آنها در منطقه پوششی گیلان در جدول ۲ مندرج است. نتایج حاصل از شمارش نمونه‌های برنج با دستگاه طیف‌سنجه‌ی گاما در جدول ۳ درج شده است. در برخی از نمونه‌های اندازه‌گیری شده، مقدار پرتوزایی رادیونوکلئیدهای موردنظر در آنها از حد اشاره شده (MDA) کمتر بوده و دستگاه قادر به شناسایی مقادیر این پرتوزایی نبوده است. این موارد در جدول با عبارت (Lower Limit of Detection) LLD داده شده است.

نتایج پرتوزایی چهار رادیونوکلئید موردنظر در نمونه‌های برنج، بصورت جداگانه در ادامه بررسی خواهند شد.

۱-۳ پرتوزایی پتاسیوم-۴۰ (^{40}K)

در نمونه‌های بررسی شده بالاترین میزان پرتوزایی مربوط به رادیونوکلئید K^{40} ، با حداقل پرتوزایی $(19.2 \pm 0.4) \text{Bq.kg}^{-1}$ و حداکثر پرتوزایی $(41.7 \pm 0.8) \text{Bq.kg}^{-1}$ تعیین شده است. نمودار ۱ پرتوزایی K^{40} در بیست نمونه برنج را نشان می‌دهد.

۲-۳ پرتوزایی رادیوم-۲۲۶ (^{226}Ra)

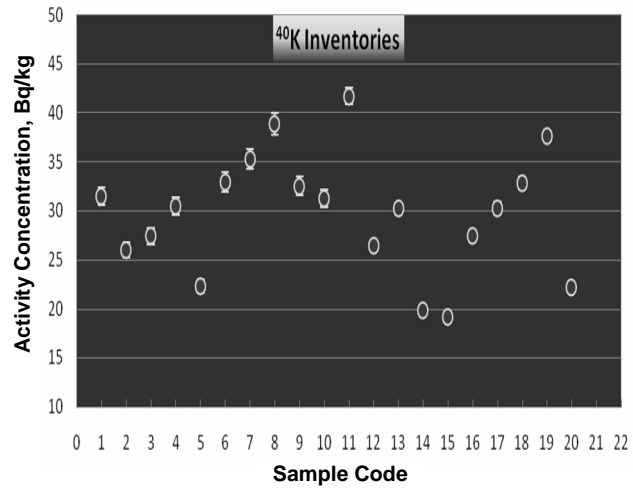
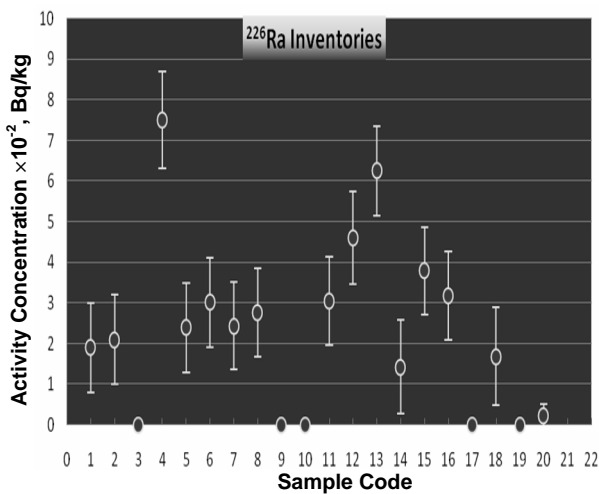
گستره تغییرات پرتوزایی قابل تشخیص رادیوم-۲۲۶ با حداقل (7.5 ± 1.2) $10^{-2} \text{Bq.kg}^{-1}$ و حداکثر (14.3 ± 1.16) $10^{-2} \text{Bq.kg}^{-1}$ و میانگین پرتوزایی $(3.30 \pm 1.75) \times 10^{-2} \text{Bq.kg}^{-1}$ بدست آمد. پرتوزایی رادیوم-۲۲۶ در بیست نمونه برنج در نمودار ۲ نشان داده شده است.

۳-۳ پرتوزایی توریوم-۲۳۲ (^{232}Th)

گستره تغییرات پرتوزایی قابل تشخیص توریوم-۲۳۲ با حداقل (6.99 ± 2.74) $10^{-2} \text{Bq.kg}^{-1}$ و حداکثر (2.4 ± 1.7) $10^{-2} \text{Bq.kg}^{-1}$ با میانگین پرتوزایی $(3.78 \pm 1.65) \times 10^{-2} \text{Bq.kg}^{-1}$ می‌باشد. نمودار ۳ پرتوزایی توریوم-۲۳۲ در بیست نمونه برنج را نشان می‌دهد.

جدول ۳- میزان موجودی رادیونوکلئیدهای طبیعی و مصنوعی در نمونه‌های برنج.

کد نمونه	نوع رادیونوکلئید و میزان غلظت پرتوزایی بر حسب (Bq.kg ⁻¹)			
	²³² Th	²²⁶ Ra	⁴⁰ K	¹³⁷ Cs
Ri-1	< LLD	(1.90±1.10)10 ⁻²	31.50±0.9	1.20×10 ⁻² ± 3.40×10 ⁻³
Ri-2	(2.40±1.8)10 ⁻²	(2.10±1.10)10 ⁻²	26.00±0.8	2.05×10 ⁻² ± 4.9×10 ⁻³
Ri-3	< LLD	< LLD	27.40±0.8	< LLD
Ri-4	(3.60±1.8)10 ⁻²	(7.50±1.20)10 ⁻²	30.50±0.9	< LLD
Ri-5	(2.40±1.70)×10 ⁻²	(2.40±1.10)10 ⁻²	22.30±0.7	2.90×10 ⁻¹ ± 9.8×10 ⁻³
Ri-6	< LLD	(3.02±1.10)10 ⁻²	32.90±1	< LLD
Ri-7	< LLD	(2.44±1.08)10 ⁻²	35.30±1.03	2.54×10 ⁻² ± 4.83×10 ⁻³
Ri-8	(2.57±1.64)10 ⁻²	(2.77±1.09)10 ⁻²	38.90±1.13	3.23×10 ⁻² ± 4.94×10 ⁻³
Ri-9	(3.90±1.62)10 ⁻²	< LLD	32.50±0.95	< LLD
Ri-10	(3.92±1.58)10 ⁻²	< LLD	31.30±0.91	< LLD
Ri-11	< LLD	(3.05±1.09)10 ⁻²	41.70±0.82	2.17×10 ⁻² ± 5.54×10 ⁻³
Ri-12	(6.40±1.75)10 ⁻²	4.60×10 ⁻² ± 1.14×10 ⁻²	26.50±0.5	< LLD
Ri-13	< LLD	6.25×10 ⁻² ± 1.1×10 ⁻²	30.20±0.6	3.37×10 ⁻² ± 0.62×10 ⁻³
Ri-14	< LLD	1.43×10 ⁻² ± 1.16×10 ⁻²	19.90±0.41	4.43×10 ⁻² ± 0.49×10 ⁻²
Ri-15	(2.90±1.71)10 ⁻²	3.79×10 ⁻² ± 1.08×10 ⁻²	19.20±0.4	2.19×10 ⁻² ± 0.33×10 ⁻²
Ri-16	(2.70±1.63)10 ⁻²	3.19×10 ⁻² ± 1.09×10 ⁻²	27.50±0.55	< LLD
Ri-17	< LLD	< LLD	30.30±0.61	< LLD
Ri-18	(6.99±2.74)10 ⁻²	(1.69±1.20)10 ⁻²	32.80±0.66	< LLD
Ri-19	< LLD	< LLD	37.60±0.07	< LLD
Ri-20	0.20±0.06	0.22±0.06	22.20±0.89	0.08±0.02
متوسط	(3.78±1.65)10 ⁻²	(3.30±1.75)10 ⁻²	30.23±5.51	(2.65±0.99)10 ⁻²





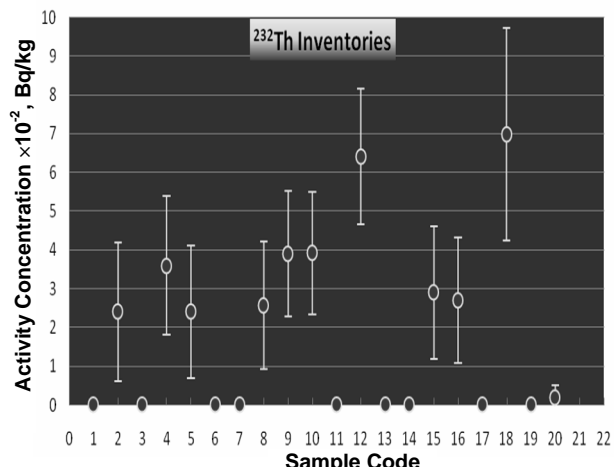
جدول ۴ - غلظت رادیونوکلئیدهای موردنظر در برنج، گزارش شده در کشورهای مختلف (Bq.kg⁻¹).

نام کشور	²³² Th	²²⁶ Ra	⁴⁰ K	¹³⁷ Cs	مرجع
هنگ کنگ	-	۰/۰۰۶	۱۵	۰/۲۶	۳
امریکا	۱۰ ^{-۴}	۰/۰۰۷	-	-	۴
برزیل	-	<۰/۱۱	۱۴/۷	<۰/۰۴	۵
انگلستان	-	<۳/۷×۱۰ ^{-۳} -۰/۰۶۷	-	-	۶
ژاپن	۴/۶×۱۰ ^{-۴}	-	-	-	۷
ویتنام	-	-	-	<۰/۰۵	۸

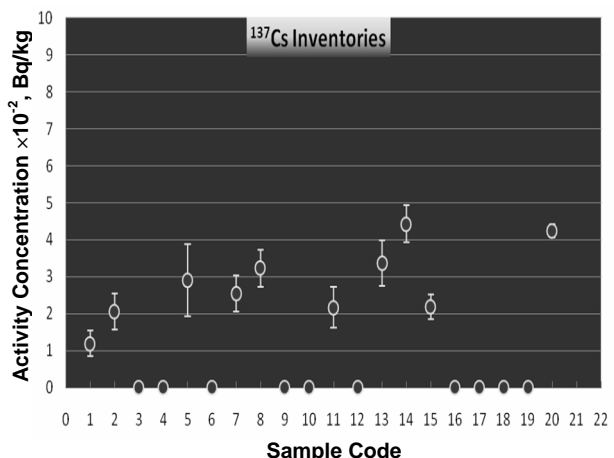
جدول ۵ - میزان پرتوزایی رادیوم-۲۲۶ و توریوم-۲۳۲ در غلات (Grain Products)

نام کشور	²³² Th	²²⁶ Ra
ایالات متحده امریکا	۰/۱-۲/۸	۷-۱۰۰
چین	۱۳	۱۷
ژاپن	۱/۲	۱۴
آلمان	-	۲۰-۲۹۰۰
لهستان	۲/۰-۲/۱	۸۰-۱۱۰
رومانی	۱/۶-۳/۳	۶/۱-۸/۵
انگلستان	۱۲	۰/۷-۵/۲۰۰
مقادیر مرجع	۳	۸۰

(جدولهای ۴ و ۵)، چنین نتیجه می‌گیریم که مقادیر رادیوم-۲۲۶ در نمونه‌های تحت بررسی از مقادیر اندازه‌گیری شده در دیگر کشورها و همچنین مقادیر مرجع که توسط آژانس بین‌المللی انرژی اتمی گزارش گردیده است کمتر می‌باشد [۹]. در حالی که مقادار توریوم-۲۳۲ در نمونه‌های مورد بررسی از مقادیر گزارش شده بیشتر است. در مورد ویژه هسته سزیوم-۱۳۷، چون این «ویژه هسته» مصنوعی بوده و طبق گزارش آژانس بین‌المللی انرژی اتمی (IAEA) مقدار مجاز و استاندارد این «ویژه هسته» در مواد غذایی در زمان سوانح هسته‌ای ۱۰۰Bq.kg⁻¹ است، در موقع عادی مقدار مجاز آن در مواد غذایی یک دهم مقدار فوق یعنی ۱۰Bq.kg⁻¹ در نظر گرفته می‌شود. با توجه به حداکثر مقدار مجاز برای سزیوم-۱۳۷ در مواد غذایی، غلظت رادیونوکلئید فوق در نمونه‌های برنج مورد آزمایش، بسیار کم و قابل چشم‌پوشی می‌باشد (متوسط ۲۶.۵mBq.kg⁻¹). مقدار متوسط پتاسیوم در نمونه‌های برنج برابر با ۳۰.۲Bq.kg⁻¹ بودست آمد که در مقایسه با مقادیر گزارش شده (جدولهای ۴ و ۵) بیشتر است.



نمودار ۳ - غلظت پرتوزایی توریوم-۲۳۲ (Th^{۲۳۲}) در نمونه‌های برنج استان گیلان.



نمودار ۴ - پراکندگی پرتوزایی سزیوم-۱۳۷ در نمونه‌های برنج.

۵- پرتوزایی رادیونوکلئیدهای موردنظر در نمونه‌های برنج در کشورهای مختلف

غلظت رادیونوکلئیدهای طبیعی پتاسیوم-۴۰، رادیوم-۲۲۶، توریوم-۲۳۲ و رادیونوکلئید مصنوعی سزیوم-۱۳۷ در نمونه‌هایی که در کشورهای مختلف اندازه گیری شده‌اند در جدول ۴ نمایش داده شده است. همچنین مقدار پرتوزایی رادیوم-۲۲۶ و توریوم-۲۳۲ که در غلات (Grain Products) در کشورهای مختلف اندازه گیری شده‌اند در جدول ۵ مندرج است.

۴- نتیجه گیری

از مقایسه پرتوزایی متوسط رادیوم-۲۲۶ و توریوم-۲۳۲ در برنج‌های اندازه گیری شده که بترتیب ۳۳ و ۳۷ میلی‌کرول در کیلوگرم بدست آمد، با مقادیر گزارش شده در دیگر کشورها

References:

1. سولغا نیدس. نیکلاس، "اندازه‌گیری و آشکارسازی تابش‌های هسته‌ای،" ترجمه ر. کوهی و م. هادی‌زاده بزدی، کتابستان مشهد. (۱۳۷۱).
2. Principles of Radiation Protection, IAEA Basic Medical Radiation Safety Training Package, (2001).
3. K.N. Ya and S.Y. Mao, "Assessment of radionuclide contents in food in Hong Kong," Health Phys. **77** (6): 686-696 (1999).
4. I.M. Fisenne, P.M. Perry, K.M. Decker, H.W. Keller, "The daily intake of $^{234,235,238}\text{U}$, $^{228,230,232}\text{Th}$ and $^{226,228}\text{Ra}$ by New York city residents," Health Phys. **53** (4): 357-363 (1987).
5. L. Venturini, and G.A.A. Sordi, "Radioactivity in and committed effective dose from some Brazilian foodstuffs," Health Phys. **76** (3): 311-313 (1999).
6. Department of the environment: HMIP-Commissioned research Natural radionuclide in environmental media, DoE Report NO: DoE/HMIP/RR/93/063 (1993).
7. K. Shiraishi, K. Tagami, Y. Muramatsu, M. Yamamoto, "Contributions of 18 food categories to intake of ^{232}Th and ^{238}U in Japan," Health Phys. **78** (1): 28-36 (2000).
8. The Vietnam agency for radiation and nuclear safety and control, LC No. FE 84000449 (2005).
9. UNSCEAR, "Sources & effects of ionizing radiation, united Nations, scientific committee on the effects of atomic radiation," New York (2000).